

Nombre del Producto: Anticuerpo policlonal de conejo PDGF-B**Nº de Catálogo: APRab15902**

Solo para uso en investigación.

Resumen

Descripción	Anticuerpo policlonal de conejo
Huésped	Conejo
Aplicación	WB,IHC,ICC/IF,ELISA
Reactividad	Humano, Ratón, Rata
Conjugación	No conjugado
Modificación	Sin modificar
Isotipo	IgG
Clonalidad	Policlonal
Formato	Líquido
Concentración	1 mg/ml
Almacenamiento	Hacer alícuotas y almacenar a -20°C (válido por 12 meses). Evitar ciclos de congelación/descongelación.
Envío	Bolsas de hielo
Tampon	Líquido en PBS que contiene 50% de glicerol, 0,5% de proteína protectora y 0,02% de conservante de nuevo tipo N.
Purificación	Purificación por afinidad

Aplicación

Relación de Dilución	WB 1:500-1:2000,IHC 1:100-1:300,ICC/IF 1:50-1:200,ELISA 1:5000-1:20000
Peso Molecular	27kDa

Información del Antígeno

Nombre del Gen	PDGFB PDGFB; PDGF2; SIS; Platelet-derived growth factor subunit B; PDGF subunit B; PDGF-2;
Nombres Alternativos	Platelet-derived growth factor B chain; Platelet-derived growth factor beta polypeptide; Proto-oncogene c-Sis; Becaplermin
ID del Gen	5155.0
ID SwissProt	P01127
Inmunógeno	El antisuero se elaboró contra el péptido sintetizado derivado del PDGFB humano. Rango de AA: 16-65.

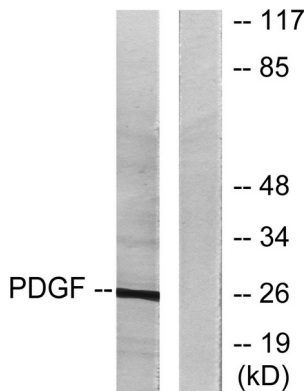
Antecedentes

subunidad B del factor de crecimiento derivado de plaquetas (PDGFB) Homo sapiens Este gen codifica un miembro de la familia de proteínas compuesta por factores de crecimiento derivados de plaquetas (PDGF) y factores de crecimiento endotelial vascular (VEGF). La preproteína codificada se procesa proteolíticamente para generar la subunidad B del factor de crecimiento derivado de plaquetas, que puede homodimerizarse o, alternativamente, heterodimerizarse con la subunidad A relacionada del factor de crecimiento derivado de plaquetas. Estas proteínas se unen y activan las tirosina quinasas del receptor PDGF, que desempeñan un papel en una amplia gama de procesos de desarrollo. Las mutaciones en este gen se asocian con el meningioma. Las translocaciones recíprocas entre los cromosomas 22 y 17, en los sitios donde se ubican este gen y el del colágeno tipo 1, alfa 1, se asocian con el dermatofibrosarcoma protuberans, un tumor cutáneo poco común. El empalme alternativo da como resultado múltiples variantes de transcripción. [Proporcionado por RefSeq, oct. de 2015], enfermedad: Una aberración cromosómica que afecta al PDGFB causa el dermatofibrosarcoma protuberans (DFSP) [MIM:607907]. Translocación t(17;22)(q22;q13) con COLA1. El DFSP es un tumor poco común, localmente agresivo, pero que rara vez metastatiza, de la dermis profunda y el tejido subcutáneo. Suele presentarse en la adultez temprana o media y se localiza con mayor frecuencia en el tronco y la zona proximal de las extremidades., función: El factor de crecimiento derivado de plaquetas es un potente mitógeno para las células de origen mesenquimal. La unión de este factor de crecimiento a su receptor de afinidad provoca diversas respuestas celulares. Es liberado por las plaquetas tras una herida y desempeña un papel importante en la estimulación del crecimiento de las células adyacentes, lo que permite su cicatrización. Información adicional: Los dímeros A-A y B-B, así como los dímeros A-B, pueden unirse al receptor de PDGF. Información en línea: Información clínica sobre Regranex. Información farmacéutica: Disponible bajo el nombre de Regranex (Ortho-McNeil). Se utiliza para promover la cicatrización de úlceras neuropáticas del pie diabético. Similitud: Pertenece a la familia de factores de crecimiento PDGF/VEGF. Subunidad: Dímero antiparalelo con enlaces disulfuro de cadenas no idénticas (A y B). Los homodímeros de las cadenas A y B participan en procesos de transformación. Interactúa con XLKD1. Especificidad tisular: Se expresa en altas concentraciones en el corazón, el cerebro (sustancia negra), la placenta y el riñón fetal. Se expresa en concentraciones moderadas en el cerebro (hipocampo), el músculo esquelético, el riñón y el pulmón.

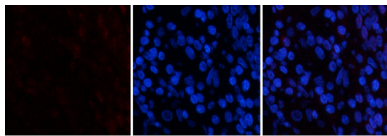
Área de Investigación

MAPK_ERK_Crecimiento;MAPK_G_Proteína;Interacción citocina-receptor de citocina;Adhesión focal;Unión en hendidura;Regula la actina y el citoesqueleto;Vías en el cáncer;Carcinoma de células renales;Glioma;Cáncer de próstata;Melanoma;

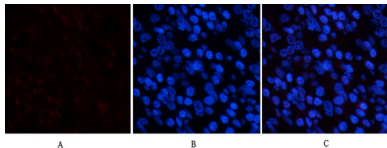
Datos de Imagen



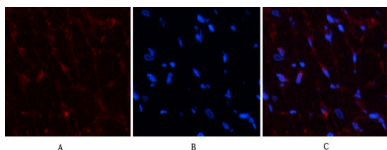
Análisis de inmunotransferencia de lisados de células NIH/3T3, utilizando el anticuerpo PDGFB. El carril derecho está bloqueado con el péptido sintetizado.



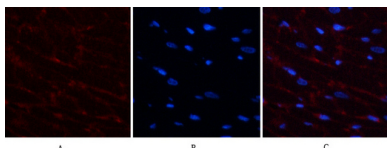
Análisis de inmunofluorescencia de tejido estomacal humano. 1. El anticuerpo policlonal PDGF-B (rojo) se diluyó a 1:200 (4 °C, durante la noche). 2. El anticuerpo secundario marcado con Cy3 se diluyó a 1:300 (temperatura ambiente, 50 min). 3. Imagen B: DAPI (azul) 10 min. Imagen A: Objetivo. Imagen B: DAPI. Imagen C: Fusión de A+B.



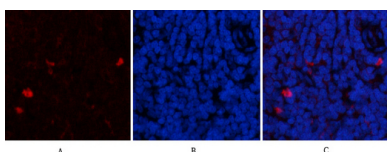
Análisis de inmunofluorescencia de tejido estomacal humano. 1. El anticuerpo policlonal PDGF-B (rojo) se diluyó a 1:200 (4 °C, durante la noche). 2. El anticuerpo secundario marcado con Cy3 se diluyó a 1:300 (temperatura ambiente, 50 min). 3. Imagen B: DAPI (azul) 10 min. Imagen A: Objetivo. Imagen B: DAPI. Imagen C: Fusión de A+B.



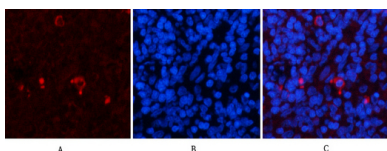
Análisis de inmunofluorescencia de tejido cardíaco de rata. 1. El anticuerpo policlonal PDGF-B (rojo) se diluyó a 1:200 (4 °C, durante la noche). 2. El anticuerpo secundario marcado con Cy3 se diluyó a 1:300 (temperatura ambiente, 50 min). 3. Imagen B: DAPI (azul) 10 min. Imagen A: Objetivo. Imagen B: DAPI. Imagen C: Fusión de A+B.



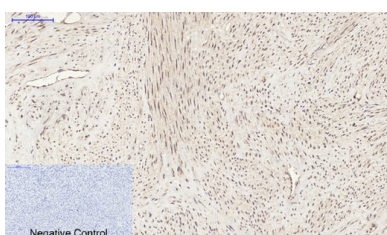
Análisis de inmunofluorescencia de tejido cardíaco de rata. 1. El anticuerpo policlonal PDGF-B (rojo) se diluyó a 1:200 (4 °C, durante la noche). 2. El anticuerpo secundario marcado con Cy3 se diluyó a 1:300 (temperatura ambiente, 50 min). 3. Imagen B: DAPI (azul) 10 min. Imagen A: Objetivo. Imagen B: DAPI. Imagen C: Fusión de A+B.



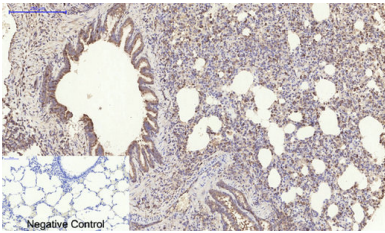
Análisis de inmunofluorescencia de tejido de bazo de rata. 1. El anticuerpo policlonal PDGF-B (rojo) se diluyó a 1:200 (4 °C, durante la noche). 2. El anticuerpo secundario marcado con Cy3 se diluyó a 1:300 (temperatura ambiente, 50 min). 3. Imagen B: DAPI (azul) 10 min. Imagen A: Objetivo. Imagen B: DAPI. Imagen C: Fusión de A+B.



Análisis de inmunofluorescencia de tejido de bazo de rata. 1. El anticuerpo policlonal PDGF-B (rojo) se diluyó a 1:200 (4 °C, durante la noche). 2. El anticuerpo secundario marcado con Cy3 se diluyó a 1:300 (temperatura ambiente, 50 min). 3. Imagen B: DAPI (azul) 10 min. Imagen A: Objetivo. Imagen B: DAPI. Imagen C: Fusión de A+B.



Análisis inmunohistoquímico de tejido uterino humano incluido en parafina. 1. El anticuerpo policlonal PDGF-B se diluyó a 1:200 (4 °C, durante la noche). 2. Se utilizó citrato de sodio a pH 6,0 para la recuperación de anticuerpos (>98 °C, 20 min). 3. El anticuerpo secundario se diluyó a 1:200 (temperatura ambiente, 30 min). El control negativo se utilizó solo con el anticuerpo secundario.



Análisis inmunohistoquímico de tejido pulmonar de rata incluido en parafina. 1. El anticuerpo policlonal PDGF-B se diluyó a 1:200 (4 °C, durante la noche). 2. Se utilizó citrato de sodio a pH 6,0 para la recuperación de anticuerpos (>98 °C, 20 min). 3. El anticuerpo secundario se diluyó a 1:200 (temperatura ambiente, 30 min). El control negativo se utilizó solo con el anticuerpo secundario.